

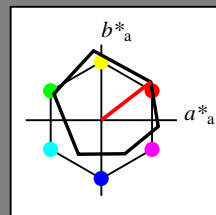
## Eingabe: Farbmétrisches Reflexions-System ORS18

für Buntton  $h^* = lab^*h = 38/360 = 0.105$  $lab^*tch$  und  $lab^*nch$ 

D65: Buntton O

LCH\*Ma: 48 83 38

rgb\*Ma: 1.0 0.0 0.0



## ORS18; adaptierte CIELAB-Daten

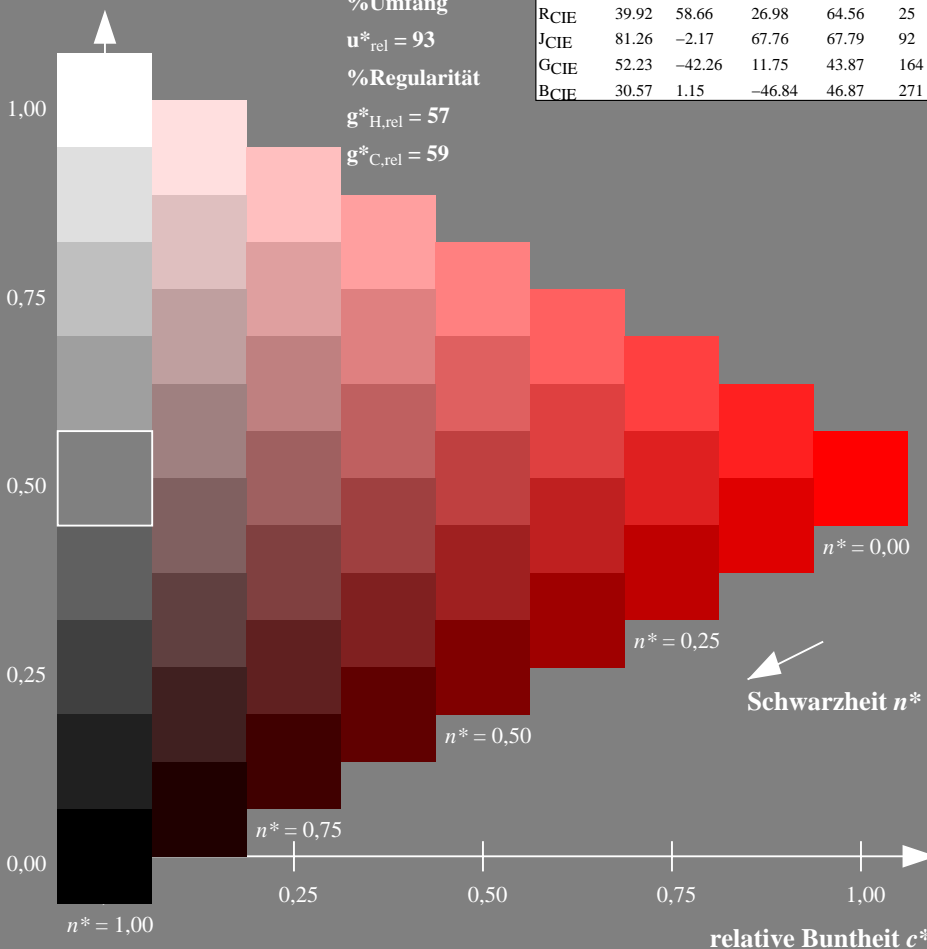
	$L^*=L^*_a$	$a^*_a$	$b^*_a$	$C^*_{ab,a}$	$h^*_{ab,a}$
OMa	47.94	65.37	50.52	82.62	38
YMa	90.37	-10.27	91.77	92.34	96
LMa	50.9	-62.79	34.95	71.87	151
CMa	58.62	-30.35	-45.01	54.3	236
VMa	25.71	31.11	-44.42	54.24	305
MMa	48.13	75.27	-8.35	75.73	354
NMa	18.01	0.0	0.0	0.0	0
WMa	95.41	0.0	0.0	0.0	0
RCIE	39.92	58.66	26.98	64.56	25
JCIE	81.26	-2.17	67.76	67.79	92
GCIE	52.23	-42.26	11.75	43.87	164
BCIE	30.57	1.15	-46.84	46.87	271

Dreiecks-Helligkeit  $t^*$ 

%Umfang

 $u^*_{rel} = 93$ 

%Regularität

 $g^*_{H,rel} = 57$  $g^*_{C,rel} = 59$ 

TG910-7, 9stufige Reihen für konstanten CIELAB Buntton 38/360 = 0.105 (links)

BAM-Prüfvorlage TG91; Farbmétrik-Systeme ORS18 & ORS18 input:  $olv^* setrgbcolor$ 

D65: 9 und 16stufige Farbreihen für 10 Bunttöne

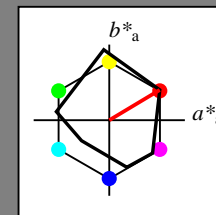
## Ausgabe: Farbmétrisches Reflexions-System MRS18a

für Buntton  $h^* = lab^*h = 31/360 = 0.086$  $lab^*tch$  und  $lab^*nch$ 

D65: Buntton R

LCH\*Ma: 50 78 31

rgb\*Ma: 1.0 0.0 0.0



## MRS18a; adaptierte CIELAB-Daten

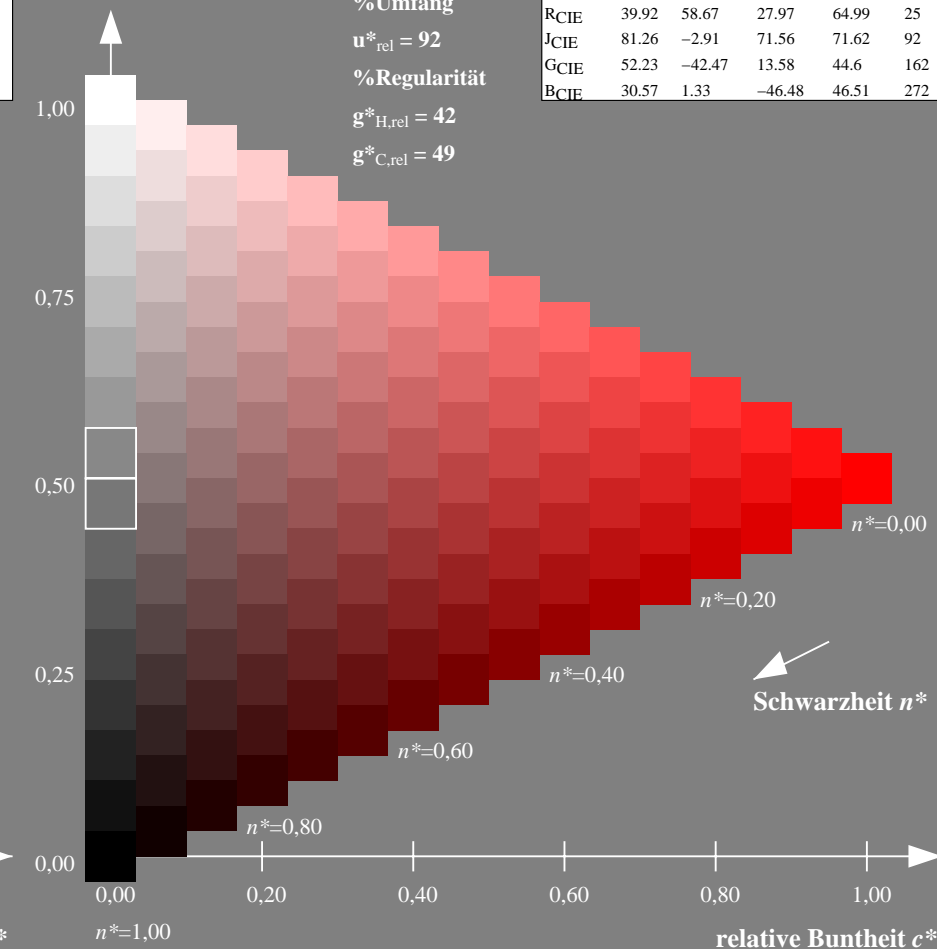
	$L^*=L^*_a$	$a^*_a$	$b^*_a$	$C^*_{ab,a}$	$h^*_{ab,a}$
RMa	49.63	66.8	40.02	77.87	31
JMa	90.7	-7.27	93.19	93.48	94
GMa	52.11	-69.93	11.26	70.85	171
G50BMa	45.03	-36.65	-27.13	45.61	217
BMa	36.65	23.26	-62.27	66.49	290
B50RMa	34.94	57.27	-43.6	71.99	323
NMa	18.01	0.0	0.0	0.0	0
WMa	95.41	0.0	0.0	0.0	0
RCIE	39.92	58.67	27.97	64.99	25
JCIE	81.26	-2.91	71.56	71.62	92
GCIE	52.23	-42.47	13.58	44.6	162
BCIE	30.57	1.33	-46.48	46.51	272

Dreiecks-Helligkeit  $t^*$ 

%Umfang

 $u^*_{rel} = 92$ 

%Regularität

 $g^*_{H,rel} = 42$  $g^*_{C,rel} = 49$ 

16stufige Reihen für konstanten CIELAB Buntton 31/360 = 0.086 (rechts)

output: Startup (S) data dependend

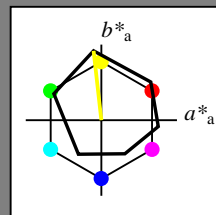
## Eingabe: Farbmétrisches Reflexions-System ORS18

für Buntton  $h^* = lab^*h = 96/360 = 0.268$  $lab^*tch$  und  $lab^*nch$ 

D65: Buntton Y

LCH\*Ma: 90 92 96

rgb\*Ma: 1.0 1.0 0.0



## ORS18; adaptierte CIELAB-Daten

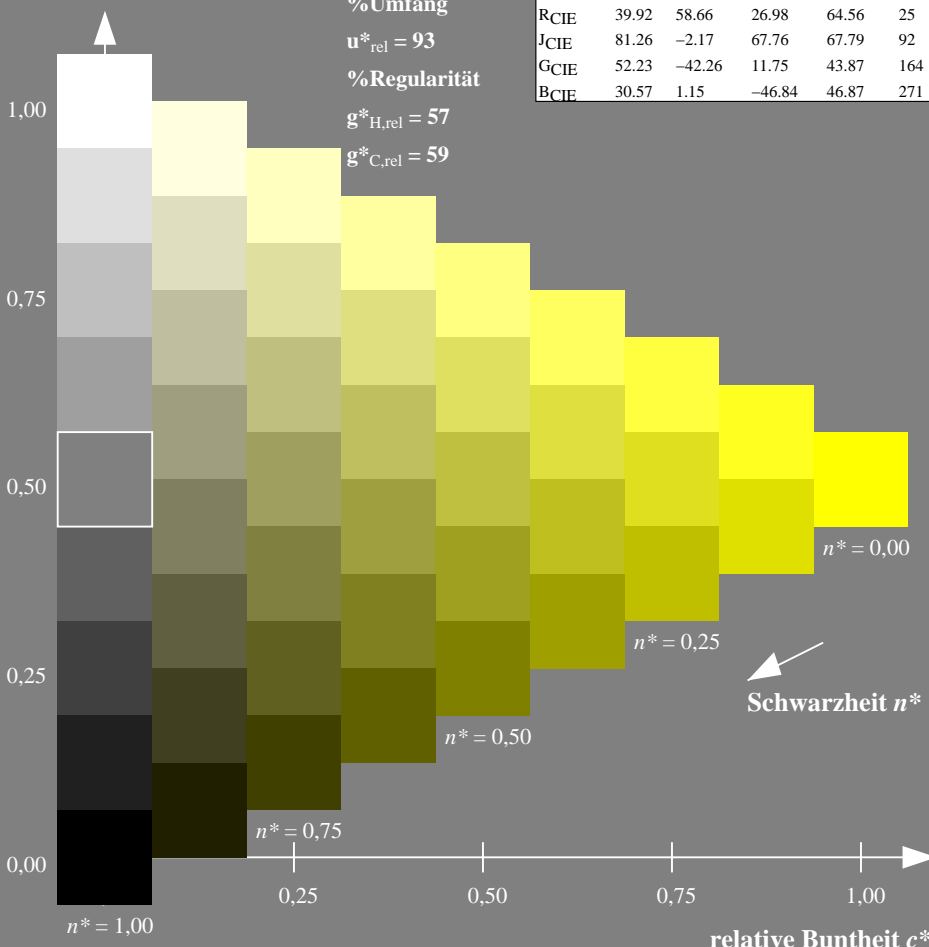
	$L^*=L^*_a$	$a^*_a$	$b^*_a$	$C^*_{ab,a}$	$h^*_{ab,a}$
OMa	47.94	65.37	50.52	82.62	38
YMa	90.37	-10.27	91.77	92.34	96
LMa	50.9	-62.79	34.95	71.87	151
CMa	58.62	-30.35	-45.01	54.3	236
VMa	25.71	31.11	-44.42	54.24	305
MMa	48.13	75.27	-8.35	75.73	354
NMa	18.01	0.0	0.0	0.0	0
WMa	95.41	0.0	0.0	0.0	0
RCIE	39.92	58.66	26.98	64.56	25
JCIE	81.26	-2.17	67.76	67.79	92
GCIE	52.23	-42.26	11.75	43.87	164
BCIE	30.57	1.15	-46.84	46.87	271

Dreiecks-Helligkeit  $t^*$ 

%Umfang

 $u^*_{rel} = 93$ 

%Regularität

 $g^*_{H,rel} = 57$  $g^*_{C,rel} = 59$ 

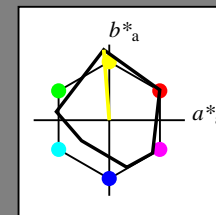
## Ausgabe: Farbmétrisches Reflexions-System MRS18a

für Buntton  $h^* = lab^*h = 94/360 = 0.262$  $lab^*tch$  und  $lab^*nch$ 

D65: Buntton J

LCH\*Ma: 91 93 94

rgb\*Ma: 1.0 1.0 0.0



## MRS18a; adaptierte CIELAB-Daten

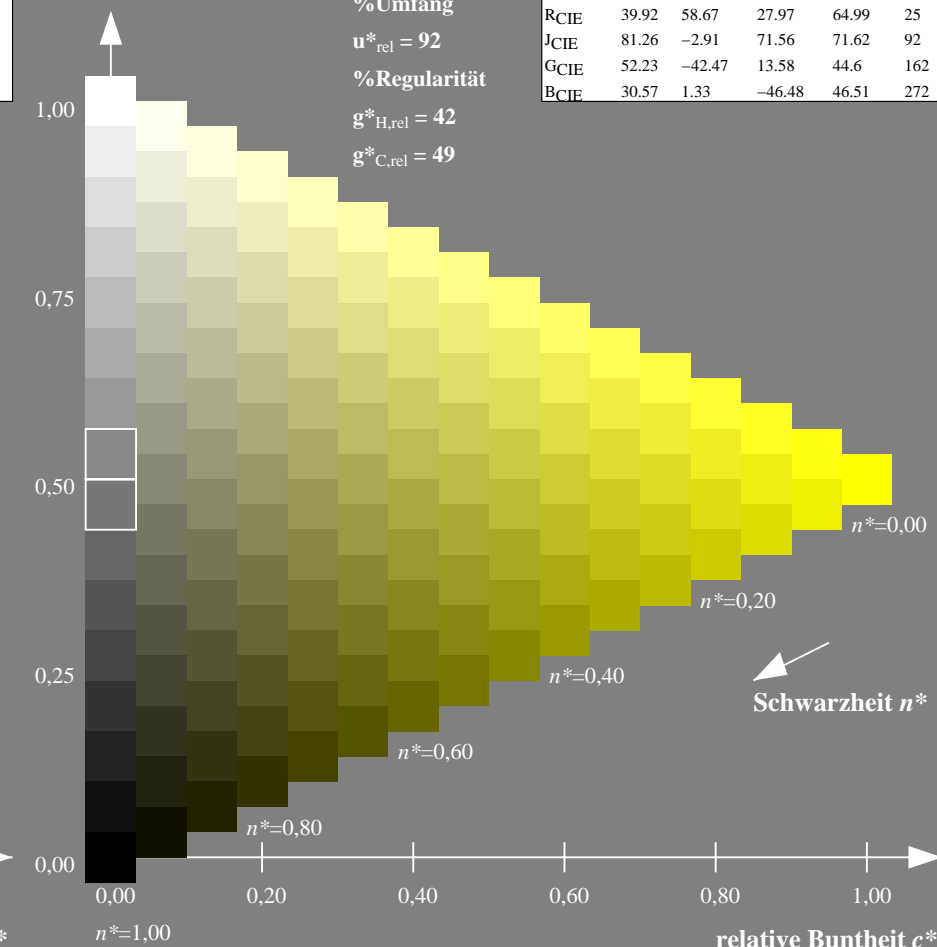
	$L^*=L^*_a$	$a^*_a$	$b^*_a$	$C^*_{ab,a}$	$h^*_{ab,a}$
RMa	49.63	66.8	40.02	77.87	31
JMa	90.7	-7.27	93.19	93.48	94
GMa	52.11	-69.93	11.26	70.85	171
G50BMa	45.03	-36.65	-27.13	45.61	217
BMa	36.65	23.26	-62.27	66.49	290
B50RMa	34.94	57.27	-43.6	71.99	323
NMa	18.01	0.0	0.0	0.0	0
WMa	95.41	0.0	0.0	0.0	0
RCIE	39.92	58.67	27.97	64.99	25
JCIE	81.26	-2.91	71.56	71.62	92
GCIE	52.23	-42.47	13.58	44.6	162
BCIE	30.57	1.33	-46.48	46.51	272

Dreiecks-Helligkeit  $t^*$ 

%Umfang

 $u^*_{rel} = 92$ 

%Regularität

 $g^*_{H,rel} = 42$  $g^*_{C,rel} = 49$ 

TG910-7, 9stufige Reihen für konstanten CIELAB Buntton 96/360 = 0.268 (links)

16stufige Reihen für konstanten CIELAB Buntton 94/360 = 0.262 (rechts)

BAM-Prüfvorlage TG91; Farbmétrik-Systeme ORS18 & ORS18 input:  $olv^* setrgbcolor$ 

D65: 9 und 16stufige Farbreihen für 10 Bunttöne

output: Startup (S) data dependend

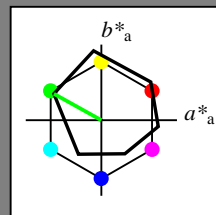
## Eingabe: Farbmimetrisches Reflexions-System ORS18

für Buntton  $h^* = lab^*h = 151/360 = 0.419$  $lab^*tch$  und  $lab^*nch$ 

D65: Buntton L

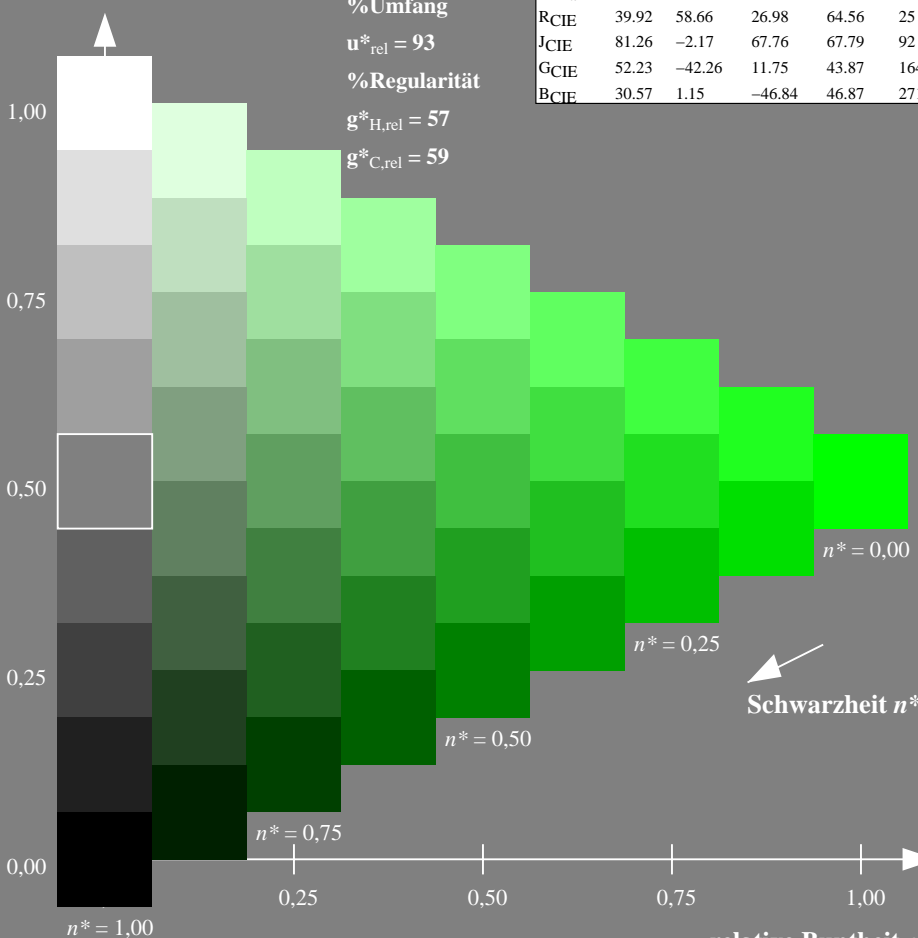
LCH\*Ma: 51 72 151

rgb\*Ma: 0.0 1.0 0.0



## ORS18; adaptierte CIELAB-Daten

	$L^*=L^*_a$	$a^*_a$	$b^*_a$	$C^*_{ab,a}$	$h^*_{ab,a}$
OMa	47.94	65.37	50.52	82.62	38
YMa	90.37	-10.27	91.77	92.34	96
LMa	50.9	-62.79	34.95	71.87	151
CMa	58.62	-30.35	-45.01	54.3	236
VMa	25.71	31.11	-44.42	54.24	305
MMa	48.13	75.27	-8.35	75.73	354
NMa	18.01	0.0	0.0	0.0	0
WMa	95.41	0.0	0.0	0.0	0
RCIE	39.92	58.66	26.98	64.56	25
JCIE	81.26	-2.17	67.76	67.79	92
GCIE	52.23	-42.26	11.75	43.87	164
BCIE	30.57	1.15	-46.84	46.87	271

Dreiecks-Helligkeit  $t^*$ 

%Umfang

 $u^*_{rel} = 93$ 

%Regularität

 $g^*_{H,rel} = 57$  $g^*_{C,rel} = 59$ Schwarzheit  $n^*$ 

TG910-7, 9stufige Reihen für konstanten CIELAB Buntton 151/360 = 0.419 (links)

BAM-Prüfvorlage TG91; Farbmimetrik-Systeme ORS18 & ORS18 input:  $olv^* setrgbcolor$ 

D65: 9 und 16stufige Farbreihen für 10 Bunttöne

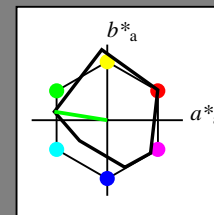
## Ausgabe: Farbmimetrisches Reflexions-System MRS18a

für Buntton  $h^* = lab^*h = 171/360 = 0.475$  $lab^*tch$  und  $lab^*nch$ 

D65: Buntton G

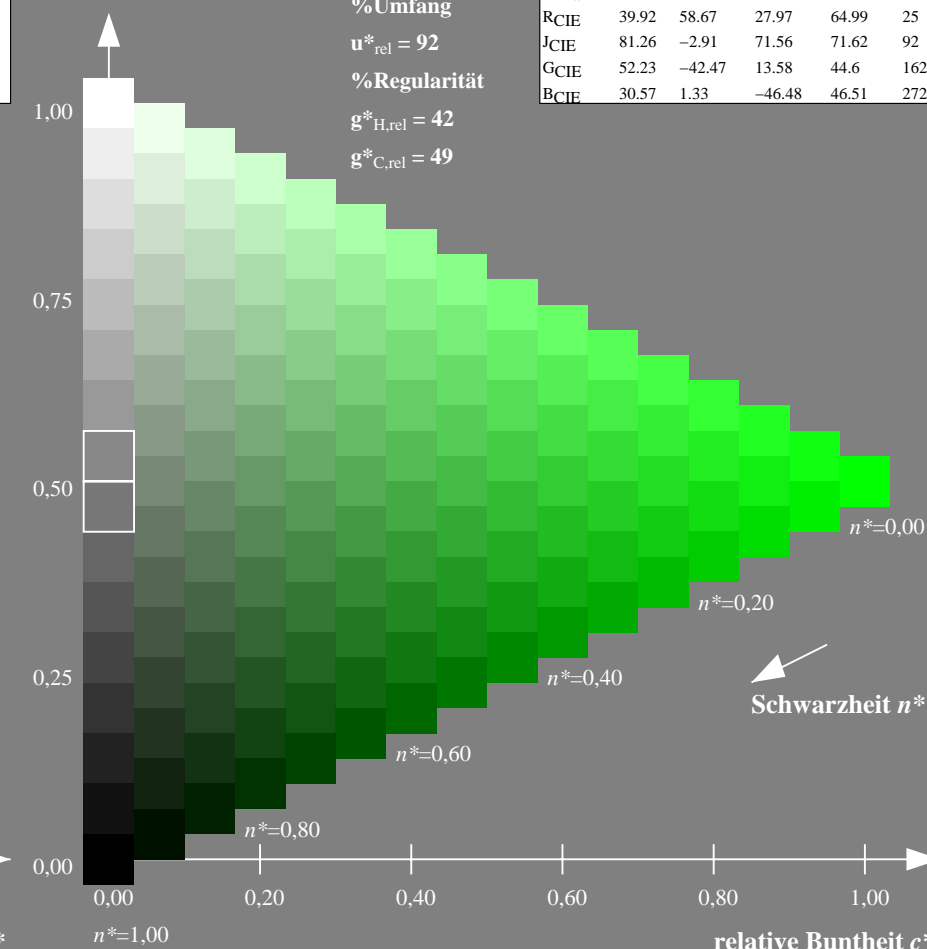
LCH\*Ma: 52 71 171

rgb\*Ma: 0.0 1.0 0.0



## MRS18a; adaptierte CIELAB-Daten

	$L^*=L^*_a$	$a^*_a$	$b^*_a$	$C^*_{ab,a}$	$h^*_{ab,a}$
RMa	49.63	66.8	40.02	77.87	31
JMa	90.7	-7.27	93.19	93.48	94
GMa	52.11	-69.93	11.26	70.85	171
G50BMa	45.03	-36.65	-27.13	45.61	217
BMa	36.65	23.26	-62.27	66.49	290
B50RMa	34.94	57.27	-43.6	71.99	323
NMa	18.01	0.0	0.0	0.0	0
WMa	95.41	0.0	0.0	0.0	0
RCIE	39.92	58.67	27.97	64.99	25
JCIE	81.26	-2.91	71.56	71.62	92
GCIE	52.23	-42.47	13.58	44.6	162
BCIE	30.57	1.33	-46.48	46.51	272

Dreiecks-Helligkeit  $t^*$ 

%Umfang

 $u^*_{rel} = 92$ 

%Regularität

 $g^*_{H,rel} = 42$  $g^*_{C,rel} = 49$ Schwarzheit  $n^*$ 

16stufige Reihen für konstanten CIELAB Buntton 171/360 = 0.475 (rechts)

output: Startup (S) data dependend

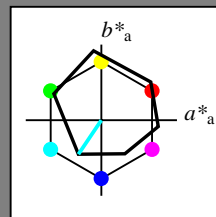
## Eingabe: Farbmimetrisches Reflexions-System ORS18

für Buntton  $h^* = lab^*h = 236/360 = 0.656$  $lab^*tch$  und  $lab^*nch$ 

D65: Buntton C

LCH\*Ma: 59 54 236

rgb\*Ma: 0.0 1.0 1.0

Dreiecks-Helligkeit  $t^*$ 

%Umfang

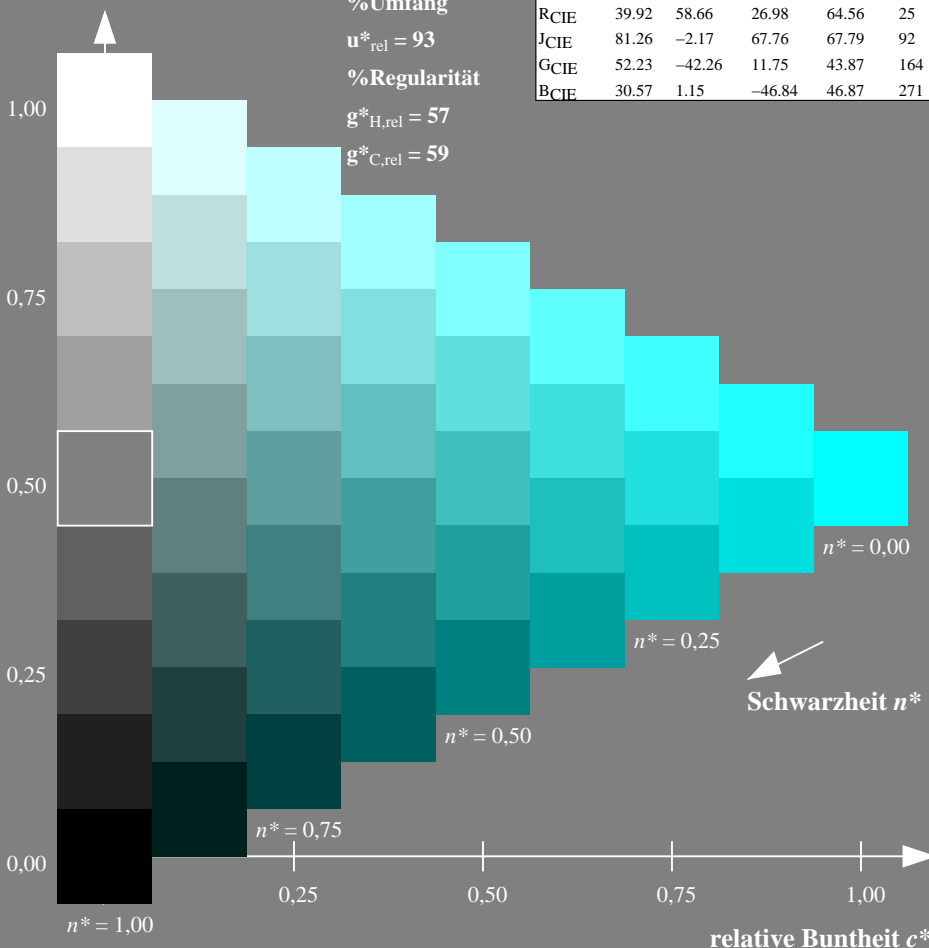
 $u^*_{rel} = 93$ 

%Regularität

 $g^*_{H,rel} = 57$  $g^*_{C,rel} = 59$ 

## ORS18; adaptierte CIELAB-Daten

	$L^*=L^*_a$	$a^*_a$	$b^*_a$	$C^*_{ab,a}$	$h^*_{ab,a}$
OMa	47.94	65.37	50.52	82.62	38
YMa	90.37	-10.27	91.77	92.34	96
LMa	50.9	-62.79	34.95	71.87	151
CMa	58.62	-30.35	-45.01	54.3	236
VMa	25.71	31.11	-44.42	54.24	305
MMa	48.13	75.27	-8.35	75.73	354
NMa	18.01	0.0	0.0	0.0	0
WMa	95.41	0.0	0.0	0.0	0
RCIE	39.92	58.66	26.98	64.56	25
JCIE	81.26	-2.17	67.76	67.79	92
GCIE	52.23	-42.26	11.75	43.87	164
BCIE	30.57	1.15	-46.84	46.87	271



TG910-7, 9stufige Reihen für konstanten CIELAB Buntton 236/360 = 0.656 (links)

BAM-Prüfvorlage TG91; Farbmimetrik-Systeme ORS18 & ORS18 input:  $olv^* setrgbcolor$ 

D65: 9 und 16stufige Farbreihen für 10 Bunttöne

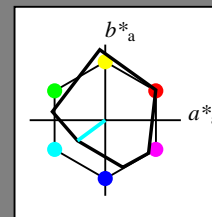
## Ausgabe: Farbmimetrisches Reflexions-System MRS18a

für Buntton  $h^* = lab^*h = 217/360 = 0.601$  $lab^*tch$  und  $lab^*nch$ 

D65: Buntton G50B

LCH\*Ma: 45 46 217

rgb\*Ma: 0.0 1.0 1.0

Dreiecks-Helligkeit  $t^*$ 

%Umfang

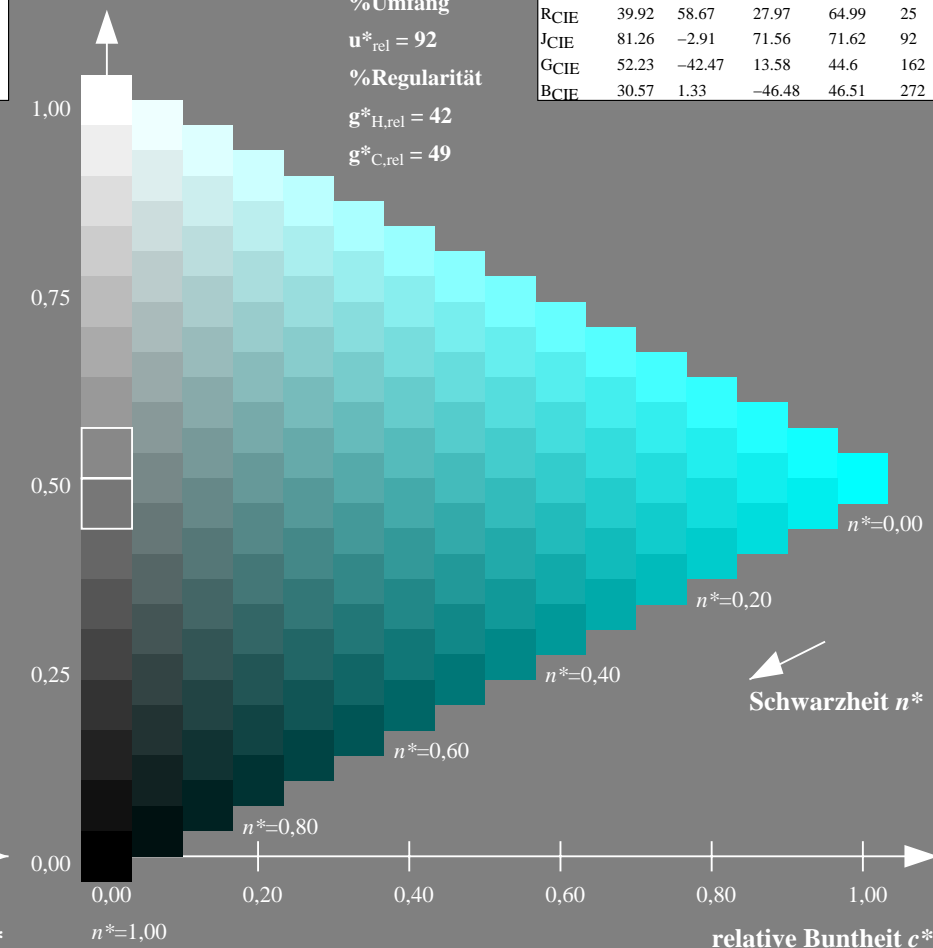
 $u^*_{rel} = 92$ 

%Regularität

 $g^*_{H,rel} = 42$  $g^*_{C,rel} = 49$ 

## MRS18a; adaptierte CIELAB-Daten

	$L^*=L^*_a$	$a^*_a$	$b^*_a$	$C^*_{ab,a}$	$h^*_{ab,a}$
RMa	49.63	66.8	40.02	77.87	31
JMa	90.7	-7.27	93.19	93.48	94
GMa	52.11	-69.93	11.26	70.85	171
G50BMa	45.03	-36.65	-27.13	45.61	217
BMa	36.65	23.26	-62.27	66.49	290
B50RMa	34.94	57.27	-43.6	71.99	323
NMa	18.01	0.0	0.0	0.0	0
WMa	95.41	0.0	0.0	0.0	0
RCIE	39.92	58.67	27.97	64.99	25
JCIE	81.26	-2.91	71.56	71.62	92
GCIE	52.23	-42.47	13.58	44.6	162
BCIE	30.57	1.33	-46.48	46.51	272



16stufige Reihen für konstanten CIELAB Buntton 217/360 = 0.601 (rechts)

output: *Startup (S) data dependend*

## Eingabe: Farbmétrisches Reflexions-System ORS18

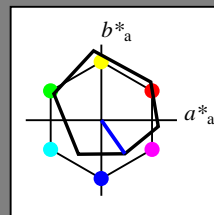
für Buntton  $h^* = lab^*h = 305/360 = 0.847$

*lab\*tch* und *lab\*nch*

## D65: Buntton V

**LCH\*Ma: 26 54 305**

rgb\*Ma: 0.0 0.0 1.0



ORS18; adaptierte CIELAB-Daten					
	$L^* - L^*_a$	$a^*_a$	$b^*_a$	$C^*_{ab,a}$	$h^*_{ab,a}$
O <sub>Ma</sub>	47.94	65.37	50.52	82.62	38
Y <sub>Ma</sub>	90.37	-10.27	91.77	92.34	96
L <sub>Ma</sub>	50.9	-62.79	34.95	71.87	151
C <sub>Ma</sub>	58.62	-30.35	-45.01	54.3	236
V <sub>Ma</sub>	25.71	31.11	-44.42	54.24	305
M <sub>Ma</sub>	48.13	75.27	-8.35	75.73	354
N <sub>Ma</sub>	18.01	0.0	0.0	0.0	0
W <sub>Ma</sub>	95.41	0.0	0.0	0.0	0
R <sub>CIE</sub>	39.92	58.66	26.98	64.56	25
J <sub>CIE</sub>	81.26	-2.17	67.76	67.79	92
G <sub>CIE</sub>	52.23	-42.26	11.75	43.87	164
B <sub>CIE</sub>	30.57	1.15	-46.84	46.87	271

### Dreiecks-Helligkeit $t^*$

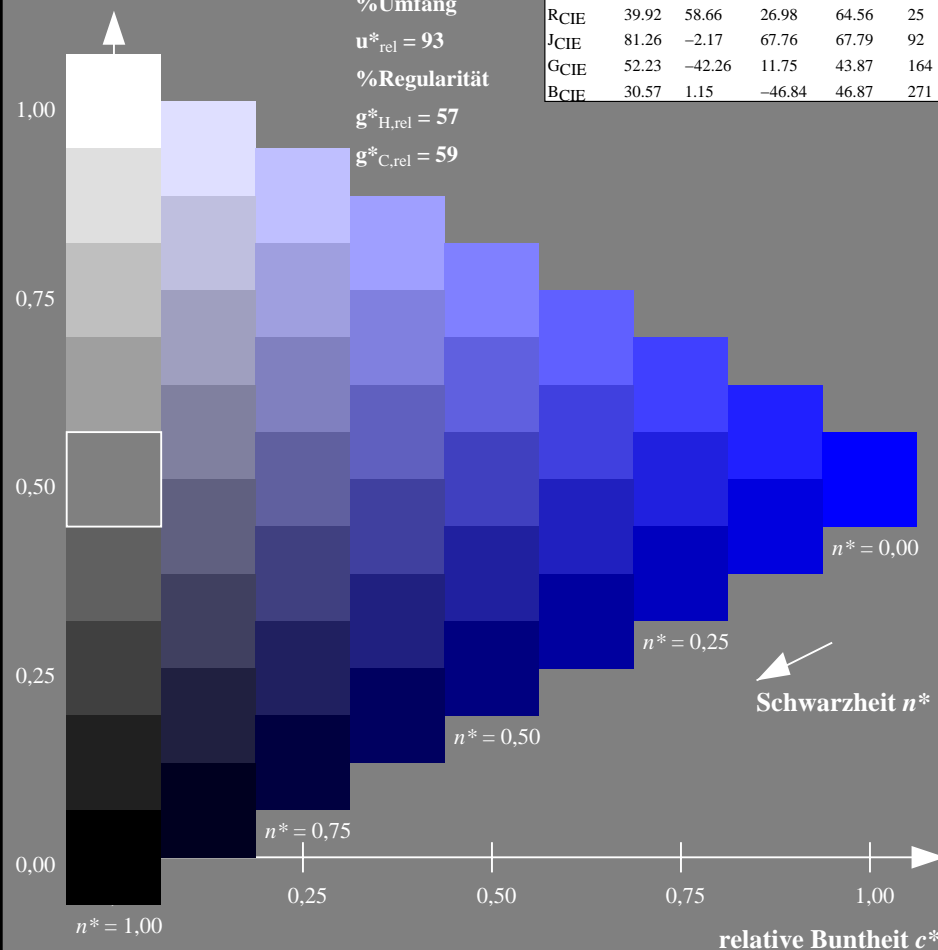
**%Umfang**

$$\mathbf{u}_{\text{rel}}^* = 93$$

### %Regularität

$$g^*_{H,rel} = 57$$

**$g^*_{C,rel} = 59$**



TG910-7, 9stufige Reihen für konstanten CIELAB Buntton 305/360 = 0.847 (links)

BAM-Prüfvorlage TG91; Farbmimetrik-Systeme ORS18 & ORS18 input: *olv\* setrgbcolor*

D65: 9 und 16stufige Farbreihen für 10 Bunttöne

**Ausgabe: Farbmétrisches Reflexions-System MRS18a**

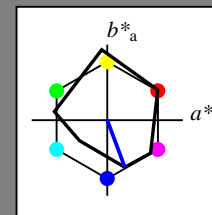
für Buntton  $h^* = lab^*h = 290/360 = 0.807$

***lab\*tch* und *lab\*nch***

D65: Buntton B

LCH\*Ma: 37 66 290

rgb\*Ma: 0.0 0.0 1.0



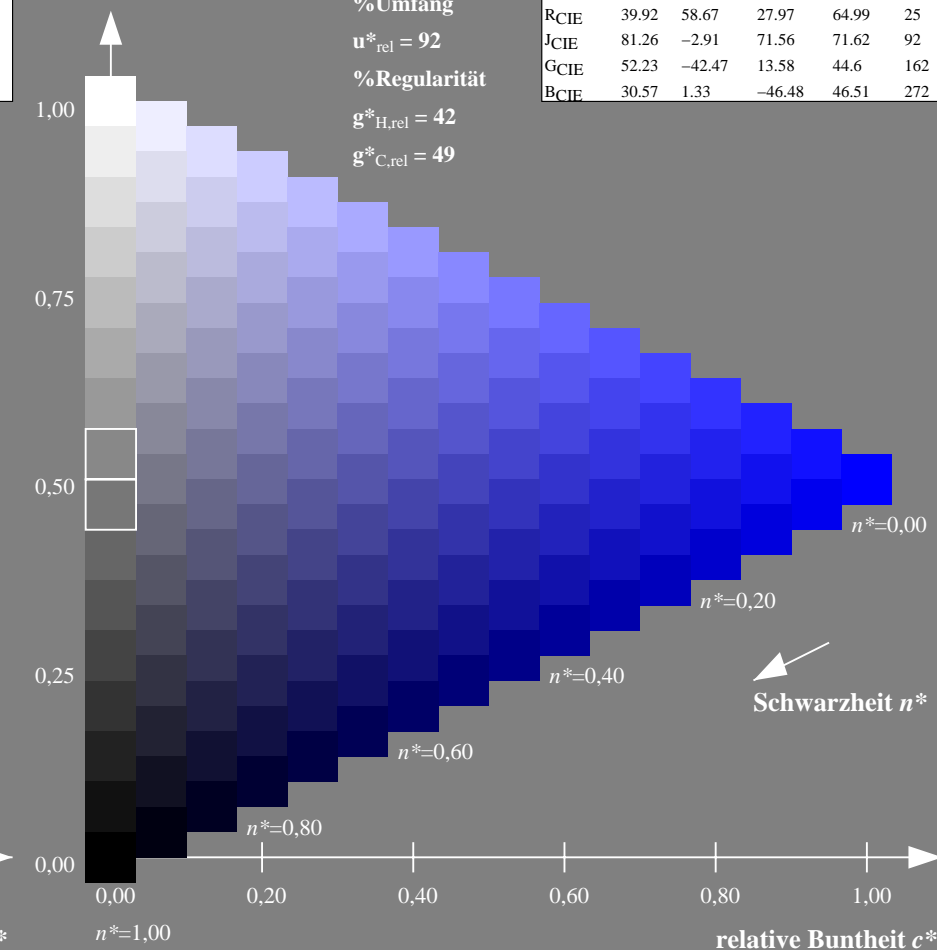
MRS18a; adaptierte CIELAB-Daten					
	$L^*_{\text{a}}$	$a^*_{\text{a}}$	$b^*_{\text{a}}$	$C^*_{\text{ab,a}}$	$h^*_{\text{ab,a}}$
R <sub>Ma</sub>	49.63	66.8	40.02	77.87	31
J <sub>Ma</sub>	90.7	-7.27	93.19	93.48	94
G <sub>Ma</sub>	52.11	-69.93	11.26	70.85	171
G50B <sub>Ma</sub>	45.03	-36.65	-27.13	45.61	217
B <sub>Ma</sub>	36.65	23.26	-62.27	66.49	290
B50R <sub>Ma</sub>	34.94	57.27	-43.6	71.99	323
N <sub>Ma</sub>	18.01	0.0	0.0	0.0	0
W <sub>Ma</sub>	95.41	0.0	0.0	0.0	0
R <sub>CIE</sub>	39.92	58.67	27.97	64.99	25
J <sub>CIE</sub>	81.26	-2.91	71.56	71.62	92
G <sub>CIE</sub>	52.23	-42.47	13.58	44.6	162
B <sub>CIE</sub>	30.57	1.33	-46.48	46.51	272

### Dreiecks-Helligkeit $t^*$

**%Umfang**

$$\mathbf{u}_{\text{rel}}^* = 92$$

**%Regularität**

$$g^*_{H,rel} = 42$$
$$g^*_{C,rel} = 49$$
16stufige Reihen für konstanten CIELAB Buntton  $290/360 = 0.807$  (rechts)

8 input: *olv\* setrgbcolor*  
output: *Startup (S) data dependent*



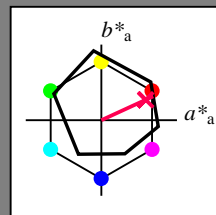
## Eingabe: Farbmétrisches Reflexions-System ORS18

für Buntton  $h^* = lab^*h = 25/360 = 0.069$  $lab^*tch$  und  $lab^*nch$ 

D65: Buntton R

LCH\*Ma: 48 75 25

rgb\*Ma: 1.0 0.0 0.32



## ORS18; adaptierte CIELAB-Daten

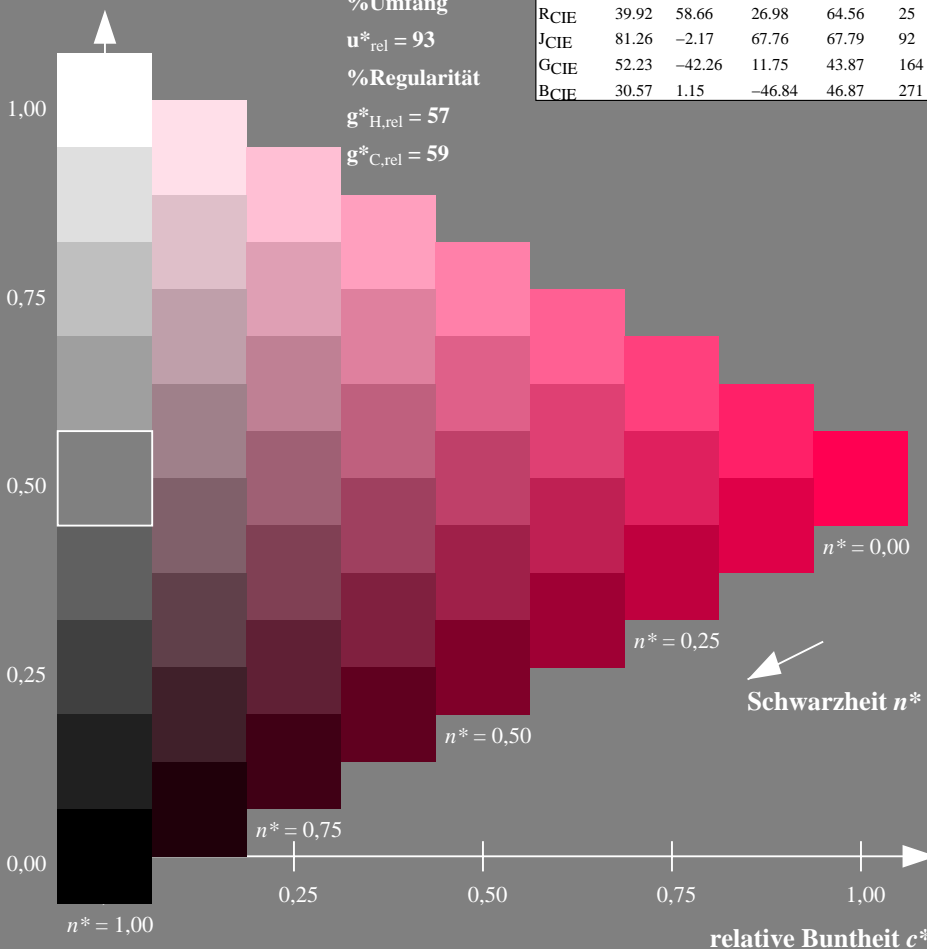
	$L^*=L^*_a$	$a^*_a$	$b^*_a$	$C^*_{ab,a}$	$h^*_{ab,a}$
OMa	47.94	65.37	50.52	82.62	38
YMa	90.37	-10.27	91.77	92.34	96
LMa	50.9	-62.79	34.95	71.87	151
CMa	58.62	-30.35	-45.01	54.3	236
VMa	25.71	31.11	-44.42	54.24	305
MMa	48.13	75.27	-8.35	75.73	354
NMa	18.01	0.0	0.0	0.0	0
WMa	95.41	0.0	0.0	0.0	0
RCIE	39.92	58.66	26.98	64.56	25
JCIE	81.26	-2.17	67.76	67.79	92
GCIE	52.23	-42.26	11.75	43.87	164
BCIE	30.57	1.15	-46.84	46.87	271

Dreiecks-Helligkeit  $t^*$ 

%Umfang

 $u^*_{rel} = 93$ 

%Regularität

 $g^*_{H,rel} = 57$  $g^*_{C,rel} = 59$ 

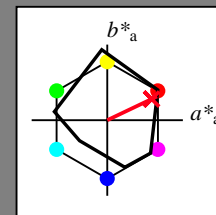
## Ausgabe: Farbmétrisches Reflexions-System MRS18a

für Buntton  $h^* = lab^*h = 25/360 = 0.071$  $lab^*tch$  und  $lab^*nch$ 

D65: Buntton R

LCH\*Ma: 48 73 25

rgb\*Ma: 1.0 0.0 0.1



## MRS18a; adaptierte CIELAB-Daten

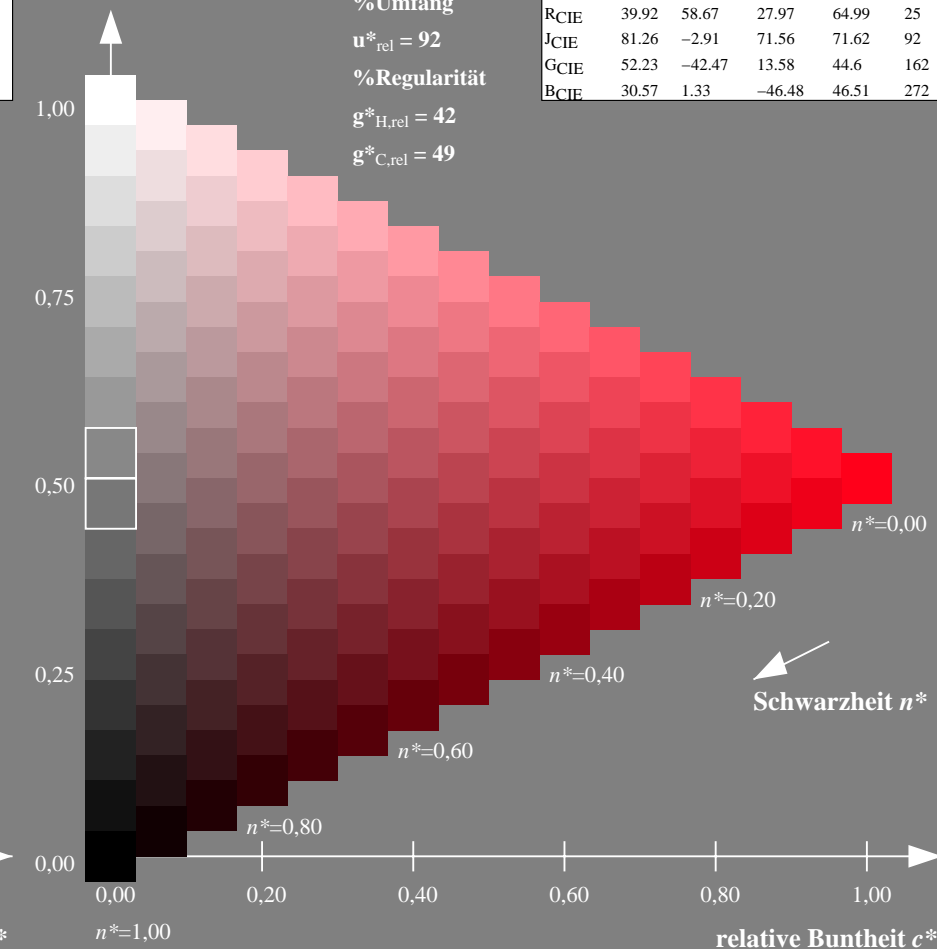
	$L^*=L^*_a$	$a^*_a$	$b^*_a$	$C^*_{ab,a}$	$h^*_{ab,a}$
RMa	49.63	66.8	40.02	77.87	31
JMa	90.7	-7.27	93.19	93.48	94
GMa	52.11	-69.93	11.26	70.85	171
G50BMa	45.03	-36.65	-27.13	45.61	217
BMa	36.65	23.26	-62.27	66.49	290
B50RMa	34.94	57.27	-43.6	71.99	323
NMa	18.01	0.0	0.0	0.0	0
WMa	95.41	0.0	0.0	0.0	0
RCIE	39.92	58.67	27.97	64.99	25
JCIE	81.26	-2.91	71.56	71.62	92
GCIE	52.23	-42.47	13.58	44.6	162
BCIE	30.57	1.33	-46.48	46.51	272

Dreiecks-Helligkeit  $t^*$ 

%Umfang

 $u^*_{rel} = 92$ 

%Regularität

 $g^*_{H,rel} = 42$  $g^*_{C,rel} = 49$ 

TG910-7, 9stufige Reihen für konstanten CIELAB Buntton 25/360 = 0.069 (links)

BAM-Prüfvorlage TG91; Farbmétrik-Systeme ORS18 & ORS18 input:  $olv^* setrgbcolor$ 

D65: 9 und 16stufige Farbreihen für 10 Bunttöne

16stufige Reihen für konstanten CIELAB Buntton 25/360 = 0.071 (rechts)

output: Startup (S) data dependend



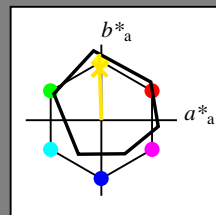
## Eingabe: Farbmétrisches Reflexions-System ORS18

für Buntton  $h^* = lab^*h = 92/360 = 0.255$  $lab^*tch$  und  $lab^*nch$ 

D65: Buntton J

LCH\*Ma: 86 88 92

rgb\*Ma: 1.0 0.9 0.0



## ORS18; adaptierte CIELAB-Daten

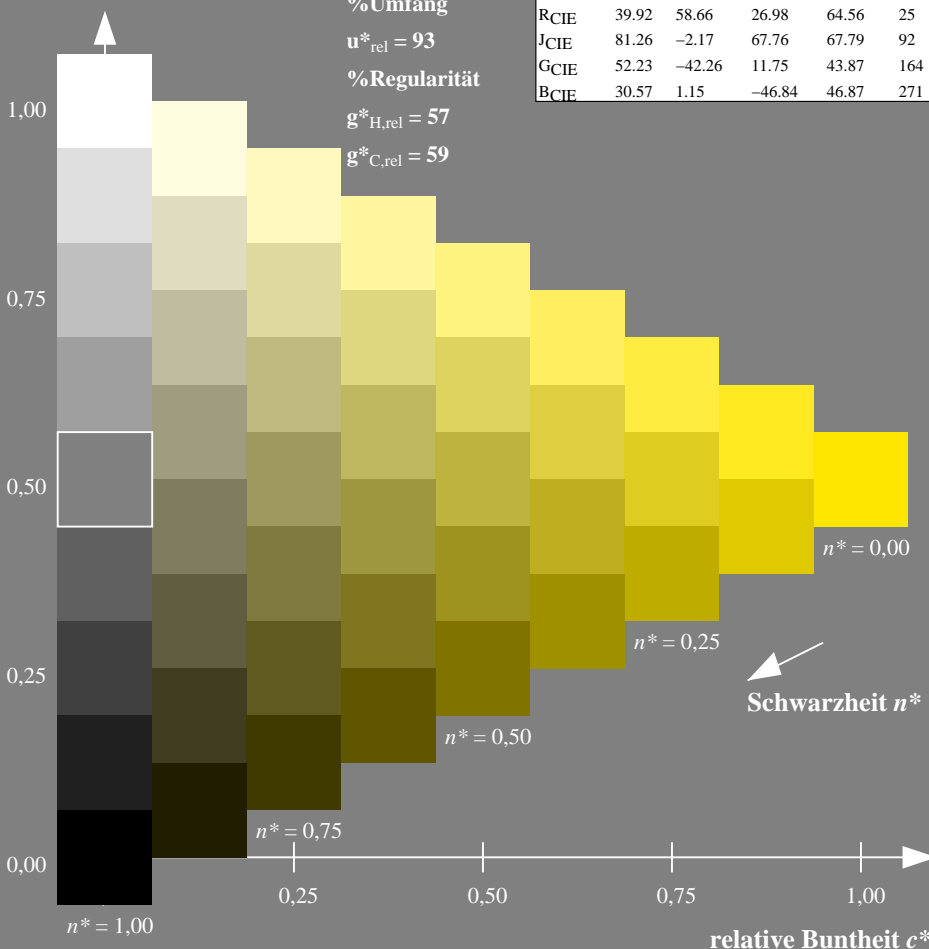
	$L^*=L^*_a$	$a^*_a$	$b^*_a$	$C^*_{ab,a}$	$h^*_{ab,a}$
OMa	47.94	65.37	50.52	82.62	38
YMa	90.37	-10.27	91.77	92.34	96
LMa	50.9	-62.79	34.95	71.87	151
CMa	58.62	-30.35	-45.01	54.3	236
VMa	25.71	31.11	-44.42	54.24	305
MMa	48.13	75.27	-8.35	75.73	354
NMa	18.01	0.0	0.0	0.0	0
WMa	95.41	0.0	0.0	0.0	0
RCIE	39.92	58.66	26.98	64.56	25
JCIE	81.26	-2.17	67.76	67.79	92
GCIE	52.23	-42.26	11.75	43.87	164
BCIE	30.57	1.15	-46.84	46.87	271

Dreiecks-Helligkeit  $t^*$ 

%Umfang

 $u^*_{rel} = 93$ 

%Regularität

 $g^*_{H,rel} = 57$  $g^*_{C,rel} = 59$ 

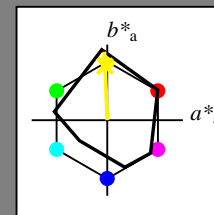
## Ausgabe: Farbmétrisches Reflexions-System MRS18a

für Buntton  $h^* = lab^*h = 92/360 = 0.256$  $lab^*tch$  und  $lab^*nch$ 

D65: Buntton J

LCH\*Ma: 89 91 92

rgb\*Ma: 1.0 0.95 0.0



## MRS18a; adaptierte CIELAB-Daten

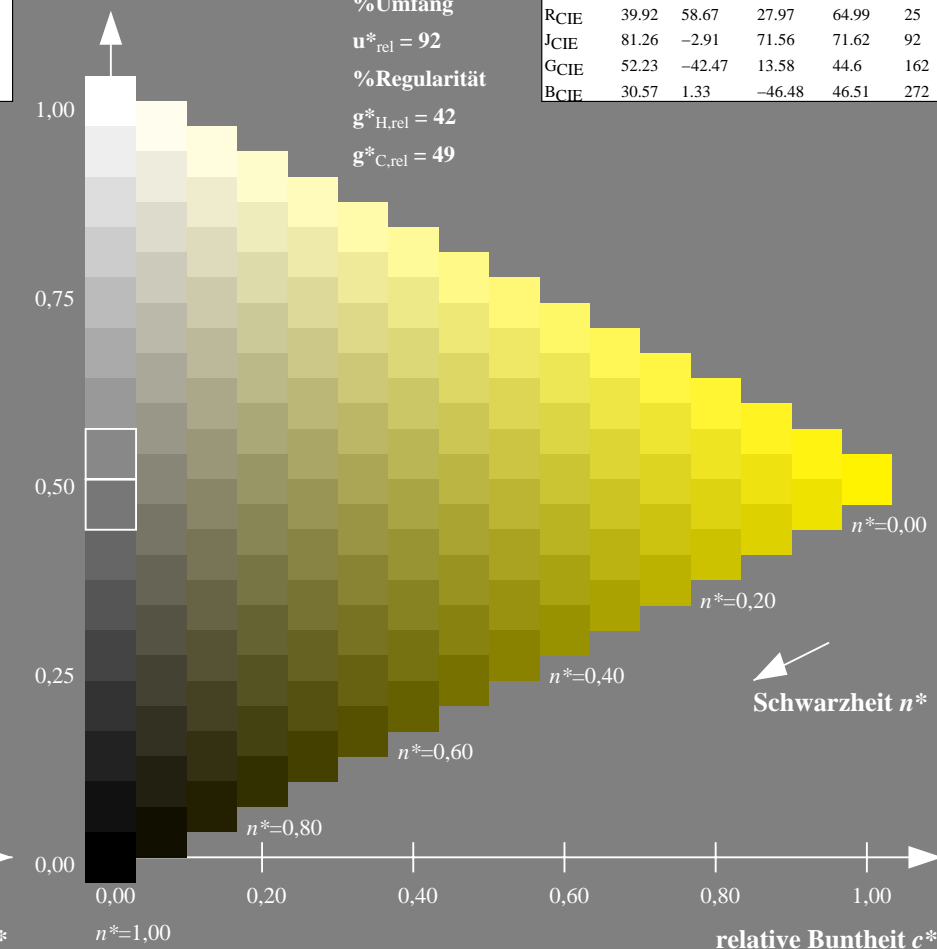
	$L^*=L^*_a$	$a^*_a$	$b^*_a$	$C^*_{ab,a}$	$h^*_{ab,a}$
RMa	49.63	66.8	40.02	77.87	31
JMa	90.7	-7.27	93.19	93.48	94
GMa	52.11	-69.93	11.26	70.85	171
G50BMa	45.03	-36.65	-27.13	45.61	217
BMa	36.65	23.26	-62.27	66.49	290
B50RMa	34.94	57.27	-43.6	71.99	323
NMa	18.01	0.0	0.0	0.0	0
WMa	95.41	0.0	0.0	0.0	0
RCIE	39.92	58.67	27.97	64.99	25
JCIE	81.26	-2.91	71.56	71.62	92
GCIE	52.23	-42.47	13.58	44.6	162
BCIE	30.57	1.33	-46.48	46.51	272

Dreiecks-Helligkeit  $t^*$ 

%Umfang

 $u^*_{rel} = 92$ 

%Regularität

 $g^*_{H,rel} = 42$  $g^*_{C,rel} = 49$ 

TG910-7, 9stufige Reihen für konstanten CIELAB Buntton 92/360 = 0.255 (links)

BAM-Prüfvorlage TG91; Farbmétrik-Systeme ORS18 & ORS18 input:  $olv^* setrgbcolor$ 

D65: 9 und 16stufige Farbreihen für 10 Bunttöne

16stufige Reihen für konstanten CIELAB Buntton 92/360 = 0.256 (rechts)

output: Startup (S) data dependend



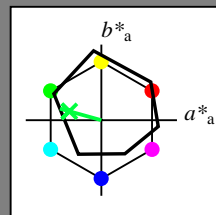
## Eingabe: Farbmimetrisches Reflexions-System ORS18

für Buntton  $h^* = lab^*h = 164/360 = 0.457$  $lab^*tch$  und  $lab^*nch$ 

D65: Buntton G

LCH\*Ma: 53 57 164

rgb\*Ma: 0.0 1.0 0.25



## ORS18; adaptierte CIELAB-Daten

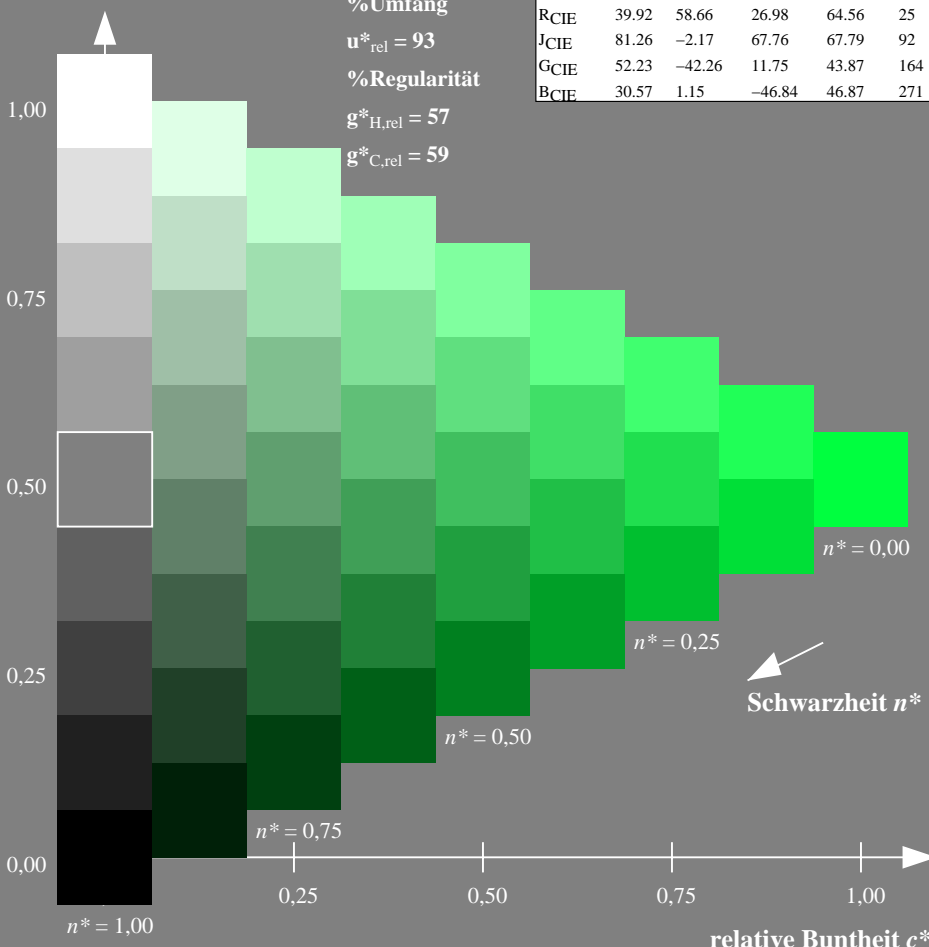
	$L^*=L^*_a$	$a^*_a$	$b^*_a$	$C^*_{ab,a}$	$h^*_{ab,a}$
OMa	47.94	65.37	50.52	82.62	38
YMa	90.37	-10.27	91.77	92.34	96
LMa	50.9	-62.79	34.95	71.87	151
CMa	58.62	-30.35	-45.01	54.3	236
VMa	25.71	31.11	-44.42	54.24	305
MMa	48.13	75.27	-8.35	75.73	354
NMa	18.01	0.0	0.0	0.0	0
WMa	95.41	0.0	0.0	0.0	0
RCIE	39.92	58.66	26.98	64.56	25
JCIE	81.26	-2.17	67.76	67.79	92
GCIE	52.23	-42.26	11.75	43.87	164
BCIE	30.57	1.15	-46.84	46.87	271

Dreiecks-Helligkeit  $t^*$ 

%Umfang

 $u^*_{rel} = 93$ 

%Regularität

 $g^*_{H,rel} = 57$  $g^*_{C,rel} = 59$ 

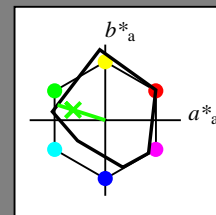
## Ausgabe: Farbmimetrisches Reflexions-System MRS18a

für Buntton  $h^* = lab^*h = 162/360 = 0.451$  $lab^*tch$  und  $lab^*nch$ 

D65: Buntton G

LCH\*Ma: 56 66 162

rgb\*Ma: 0.11 1.0 0.0



## MRS18a; adaptierte CIELAB-Daten

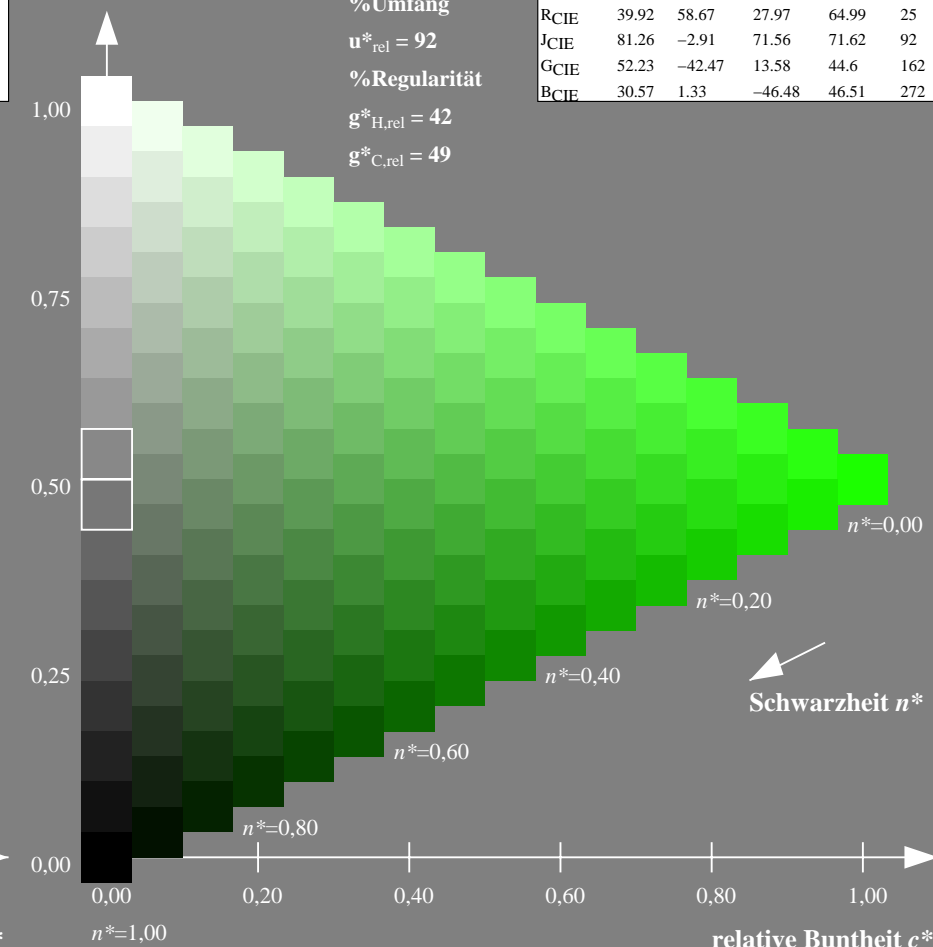
	$L^*=L^*_a$	$a^*_a$	$b^*_a$	$C^*_{ab,a}$	$h^*_{ab,a}$
RMa	49.63	66.8	40.02	77.87	31
JMa	90.7	-7.27	93.19	93.48	94
GMa	52.11	-69.93	11.26	70.85	171
G50BMa	45.03	-36.65	-27.13	45.61	217
BMa	36.65	23.26	-62.27	66.49	290
B50RMa	34.94	57.27	-43.6	71.99	323
NMa	18.01	0.0	0.0	0.0	0
WMa	95.41	0.0	0.0	0.0	0
RCIE	39.92	58.67	27.97	64.99	25
JCIE	81.26	-2.91	71.56	71.62	92
GCIE	52.23	-42.47	13.58	44.6	162
BCIE	30.57	1.33	-46.48	46.51	272

Dreiecks-Helligkeit  $t^*$ 

%Umfang

 $u^*_{rel} = 92$ 

%Regularität

 $g^*_{H,rel} = 42$  $g^*_{C,rel} = 49$ 

TG910-7, 9stufige Reihen für konstanten CIELAB Buntton 164/360 = 0.457 (links)

16stufige Reihen für konstanten CIELAB Buntton 162/360 = 0.451 (rechts)

BAM-Prüfvorlage TG91; Farbmimetrik-Systeme ORS18 & ORS18 input:  $olv^* setrgbcolor$ 

D65: 9 und 16stufige Farbreihen für 10 Bunttöne

output: Startup (S) data dependend

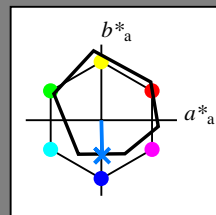
## Eingabe: Farbmimetrisches Reflexions-System ORS18

für Buntton  $h^* = lab^*h = 271/360 = 0.754$  $lab^*ch$  und  $lab^*nch$ 

D65: Buntton B

LCH\*Ma: 42 45 271

rgb\*Ma: 0.0 0.49 1.0



## ORS18; adaptierte CIELAB-Daten

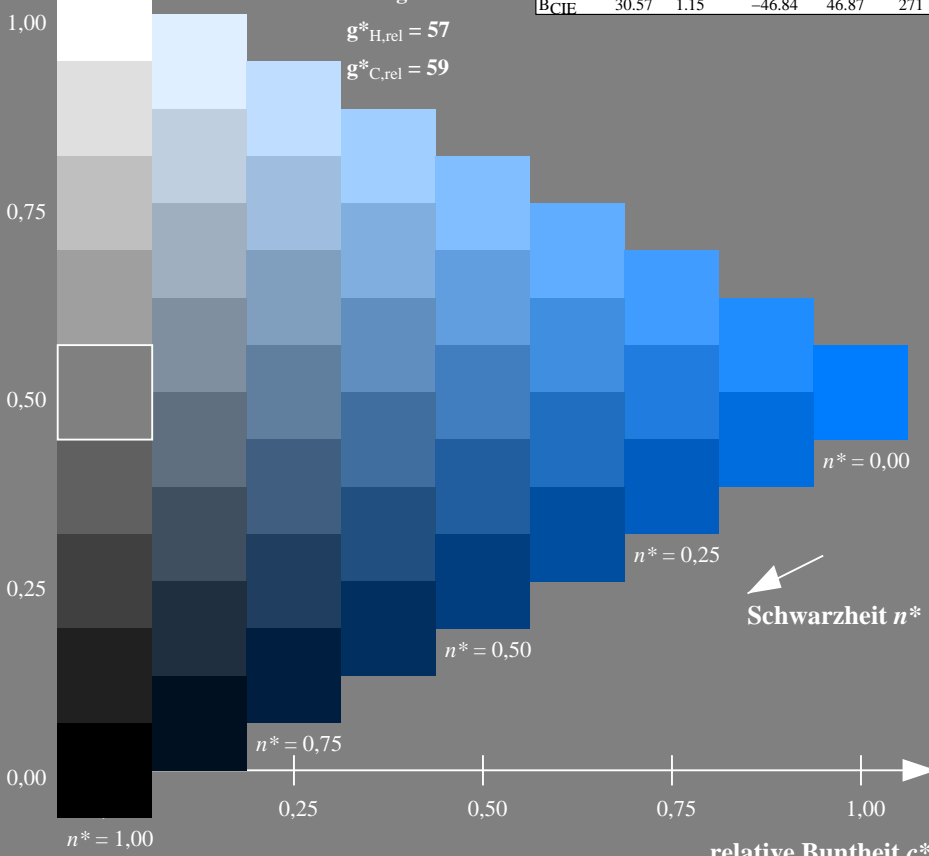
	$L^*=L^*_a$	$a^*_a$	$b^*_a$	$C^*_{ab,a}$	$h^*_{ab,a}$
OMa	47.94	65.37	50.52	82.62	38
YMa	90.37	-10.27	91.77	92.34	96
LMa	50.9	-62.79	34.95	71.87	151
CMa	58.62	-30.35	-45.01	54.3	236
VMa	25.71	31.11	-44.42	54.24	305
MMa	48.13	75.27	-8.35	75.73	354
NMa	18.01	0.0	0.0	0.0	0
WMa	95.41	0.0	0.0	0.0	0
RCIE	39.92	58.66	26.98	64.56	25
JCIE	81.26	-2.17	67.76	67.79	92
GCIE	52.23	-42.26	11.75	43.87	164
BCIE	30.57	1.15	-46.84	46.87	271

Dreiecks-Helligkeit  $t^*$ 

%Umfang

 $u^*_{rel} = 93$ 

%Regularität

 $g^*_{H,rel} = 57$  $g^*_{C,rel} = 59$ Schwarzheit  $n^*$ 

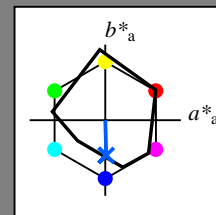
## Ausgabe: Farbmimetrisches Reflexions-System MRS18a

für Buntton  $h^* = lab^*h = 272/360 = 0.755$  $lab^*ch$  und  $lab^*nch$ 

D65: Buntton B

LCH\*Ma: 40 49 272

rgb\*Ma: 0.0 0.36 1.0



## MRS18a; adaptierte CIELAB-Daten

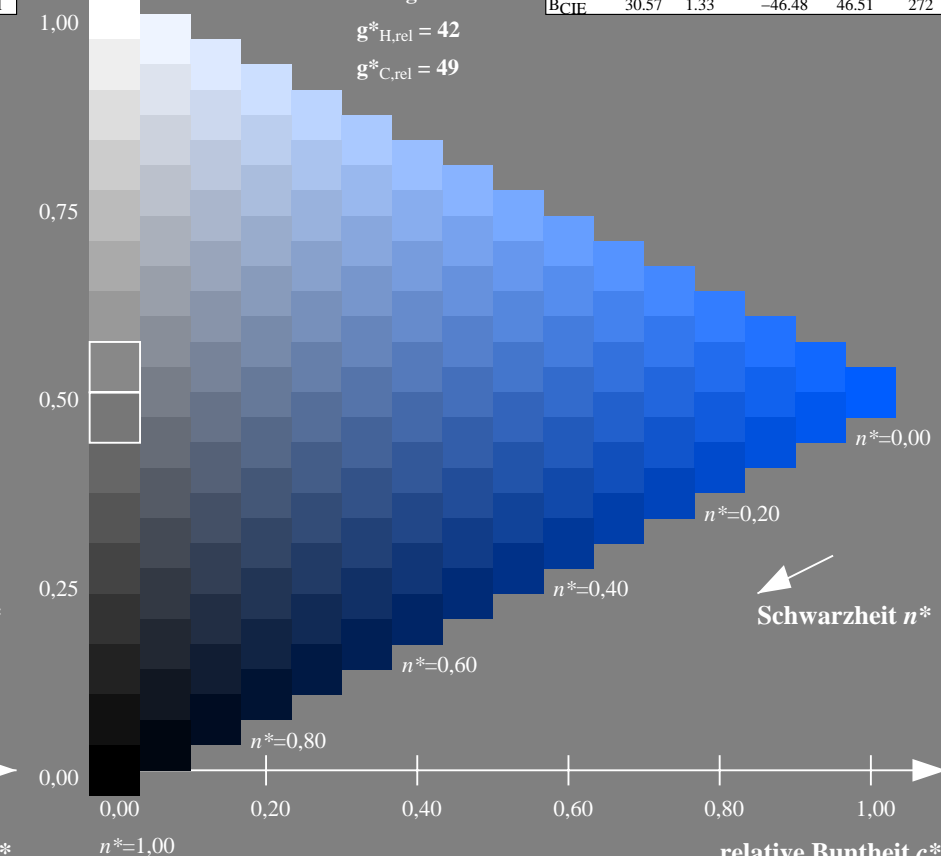
	$L^*=L^*_a$	$a^*_a$	$b^*_a$	$C^*_{ab,a}$	$h^*_{ab,a}$
RMa	49.63	66.8	40.02	77.87	31
JMa	90.7	-7.27	93.19	93.48	94
GMa	52.11	-69.93	11.26	70.85	171
G50BMa	45.03	-36.65	-27.13	45.61	217
BMa	36.65	23.26	-62.27	66.49	290
B50RMa	34.94	57.27	-43.6	71.99	323
NMa	18.01	0.0	0.0	0.0	0
WMa	95.41	0.0	0.0	0.0	0
RCIE	39.92	58.67	27.97	64.99	25
JCIE	81.26	-2.91	71.56	71.62	92
GCIE	52.23	-42.47	13.58	44.6	162
BCIE	30.57	1.33	-46.48	46.51	272

Dreiecks-Helligkeit  $t^*$ 

%Umfang

 $u^*_{rel} = 92$ 

%Regularität

 $g^*_{H,rel} = 42$  $g^*_{C,rel} = 49$ Schwarzheit  $n^*$ 

TG910-7, 9stufige Reihen für konstanten CIELAB Buntton 271/360 = 0.754 (links)

16stufige Reihen für konstanten CIELAB Buntton 272/360 = 0.755 (rechts)

BAM-Prüfvorlage TG91; Farbmimetrik-Systeme ORS18 & ORS18 input:  $olv^* setrgbcolor$ 

D65: 9 und 16stufige Farbreihen für 10 Bunttöne

output: Startup (S) data dependend